

Экспериментально установлена зависимость числа пузырьков  $n$  на единице длины трека (плотность пузырьков) для однозарядной быстрой частицы от её скорости  $v$ :  $n = A/\beta^2$ ,  $\beta = v/c$ . Число б-электронов  $n_\delta$ , выбивающихся частицей и способных создать пузырёк, равно

$$n_\delta = A \frac{Z^2}{\beta^2}; A = \frac{2\pi e^4 \rho N Z_0 m c^2}{\mu}. \quad (2)$$

Здесь  $e$  — заряд электрона,  $m$  — его масса,  $\rho$  — плотность жидкости,  $N$  — число Авогадро,  $Z_0$  — число электронов молекулы жидкости,  $Z$  — заряд частицы,  $\mu$  — мол. вес,  $\epsilon$  — энергия б-электрона, способного создать зародыш одного пузырька. Электроны больших энергий, удаляясь от траектории частицы и выбивая б-электроны, образуют след из цепочки пузырьков (рис. 2, 3). Электроны малых энергий не создадут пузырьков критич. размера; мин. энергия  $\epsilon$ , требующаяся для создания зародыша пузырька критич. размера в

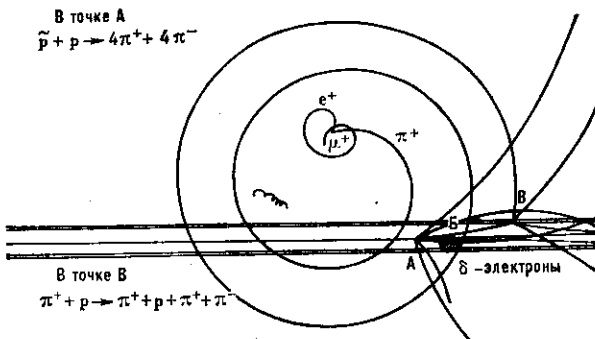


Рис. 2. Фотографии следов частиц, полученные на водородной камере ОИЯИ «Людмила»;  $H = 2,6$  Тл; облучение антипротонами 22,4 ГэВ/с на ускорителе ИФВЭ. В точке А происходит аннигиляция  $p + p \rightarrow 4\pi^+ + 4\pi^-$ . Быстрый  $\pi^+$  взаимодействует вторично в точке B:  $\pi^+ + p \rightarrow p + \pi^+ + \pi^+ + \pi^-$ ; по пути образуя в точке B энергичный б-электрон;  $\pi^+$ , образовавшийся в точке B, закручиваясь магн. полем в спираль, тормозится до остановки и распадается по схеме  $\pi^+ \rightarrow \mu^+ + e^+$ .

пропане, равна 390 эВ, в водороде — 165 эВ. При этом в пропане  $n_\delta = 100$  см<sup>-1</sup>, в водороде — 56 см<sup>-1</sup>. В большинстве экспериментов получают на 1 см трека 15 пузырьков. Это означает, что  $n \neq n_\delta$ , т. е. что не каждый б-электрон, способный создать зародышевый пузырёк, создаёт его и что не каждый зародыш вырастает до размеров пузырька, видимого при обычном фотографировании. В процессе формирования и роста пузырьков происходит их «схлопывание» увеличивающимся из-за закипания давлением, а также слияние

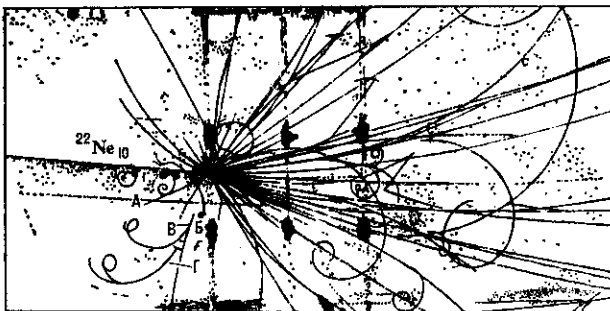


Рис. 3. Фотографии следов частиц, полученные на пропановой камере (ОИЯИ);  $H = 1,55$  Тл; облучение релятивистскими ядрами на синхрофазотроне (ОИЯИ). Ядро  $^{22}\text{Ne}$  с импульсом 92,4 ГэВ/с в точке А взаимодействует с мишенью из Та (тёмные полуперпендикулярные полоски-плактины Та), образуя св. 50 заряженных частиц. Плотные следы принадлежат останавливающимся протонам. Излучаемый  $\gamma$ -квант (от А до Б) в точке Б конвертирует в  $e^- - e^+$ -пару; в точке В излучается  $\gamma$ -квант, давший в точке Г комптоновский электрон.

близлежащих пузырьков. Фотографирование прецизионной оптикой или голографич. метод регистрации (см. Голография) на ранней стадии формирования пузырьков даёт  $n$ , близкие к  $n_\delta$ . Плотность пузырьков растёт с увеличением  $T$  и  $\Delta p$ , т. к. при этом для образования зародышей требуется меньшая энергия б-электронов.

**Рабочие жидкости.** Наиб. широкое применение получили: жидкие водород, дейтерий, гелий и смесь водорода с неоном (криогенные П. к.); пропан, фреоны, ксенон и их смеси (тяжеложидкостные П. к.). Для изучения взаимодействий с протонами применяется жидкий водород (рис. 2), с нейтронами — дейтерий. Для изучения процессов, сопровождающихся образованием электронно-фотонных ливней, удобны Хе, пропан и др. тяжёлые жидкости (рис. 3). Смесь водорода с Ne — также хороший детектор  $\gamma$ -квантов (см. Гамма-излучение). Нек-рые характеристики рабочих жидкостей даны в табл.

Характеристики жидкостей, наиболее часто используемых в пузырьковых камерах

Жидкость	$T, ^\circ\text{C}$	$\rho_\infty, \text{атм}$	$\rho, \text{г}/\text{см}^3$	Радиационная длина $x_0, \text{см}$	Вероятность конверсии $\gamma$ -квантов с $E_\gamma = 500$ МэВ на длине 50 см, %
$\text{H}_2$	-246	4,7	0,06	1047	4,6
$\text{C}_2\text{H}_6$	80	21,5	0,43	108	36
$\text{CF}_3\text{Br}$	30	18	1,5	11,8	99
Xe	-19	26	2,3	3,5	100

Измерения импульсов и определение знака заряда быстрых частиц осуществляются по кривизне траектории в пост. магн. поле  $H$  (рис. 2, 3). Радиус кривизны  $R$  определяется соотношением

$$p = \frac{300 H R}{\cos \theta}. \quad (3)$$

Здесь  $p$  — импульс частицы в МэВ/с;  $H$  — магн. поле, в Тл;  $\theta$  — угол между направлением импульса  $p$  и плоскостью, перпендикулярной  $H$  (угол погружения).

При движении в жидкости частица испытывает многочленное кулоновское рассеяние и торможение (потери энергии на ионизацию), что искажает её траекторию (при больших энергиях, когда  $\beta \rightarrow 1$ , ионизаци. потерями можно пренебречь). Ошибка в определении импульса из-за кулоновского рассеяния тем больше, чем меньше радиус длины  $x_0$ .

$$(\Delta p/p)_{\text{кул}} = \frac{5,7 \cdot 10^{-2}}{B H \sqrt{x_0}} (\%); l \text{ и } x_0 \text{ в см.}$$

В тяжёлых жидкостях  $x_0$  мало (табл.) и кулоновское рассеяние существенно:

$$\left( \frac{\Delta p}{p} \right) = \left[ \left( \frac{\Delta p}{p} \right)_{\text{изм}}^2 + \left( \frac{\Delta p}{p} \right)_{\text{кул}}^2 \right]^{1/2}. \quad (4)$$

Поэтому ксеноновые П. к. работают без магн. поля (рис. 4). Потери на ионизацию и выбивание электронов уменьшают импульс, в результате след заряженной частицы скручивается в спираль (рис. 2). Импульсы малозергичных, останавливающихся частиц определяют по длине пробега (следы протонов на рис. 3), что даёт более высокую точность.

**Особенности криогенных и тяжеложидкостных пузырьковых камер** проявляются в их конструкциях и системах освещения. В криогенных П. к. расширение осуществляется поршнем, к-рый находится в контакте с рабочей жидкостью. Для передачи давления от тёплой к холодной части П. к. служат штоки из материала с малой теплопроводностью (нержавеющая сталь). В тяжеложидкостных П. к. применяются гибкие мем-